

Рис. 1

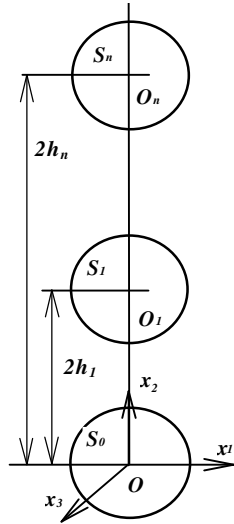


Рис. 2

паралельних площинах (рис. 1) або компланарні з центрами в одній площині на прямій  $OO_n$  (рис. 2). Віддаль між точками  $O$  та  $O_k$  позначимо через  $2h_k$  ( $k = 1, \dots, n$ ).

З областю  $S_0$  зв'яжемо систему декартових координат  $Ox_1x_2x_3$  так, що з прямою  $OO_n$  збігається вісь  $Ox_3$  (рис. 1) або  $Ox_2$  (рис. 2). Зауважимо, що область  $S_0$  лежить у площині  $x_3 = 0$ .

Зумовлену тепловиділенням стаціонарну температуру подамо через ньютонівський потенціал простого шару у вигляді [9]

$$T_i(x^*) = \frac{1}{4\pi\lambda} \left\{ \iint_{S_0} \frac{w_0(\xi)}{|x^* - \xi|} d\xi S + \sum_{k=1}^n \iint_{S_k} \frac{w_k(\xi)}{R_{ik}(x^*, \xi)} d\xi S \right\},$$

$$i=1,2, \quad \xi = (\xi_1, \xi_2), \quad x^* = x^*(x_1, x_2, x_3), \quad (1)$$

де  $\lambda$  — коефіцієнт теплопровідності;  $w_k(\xi)$  — інтенсивність теплових джерел в областях  $S_k$ ;

$$|x^* - \xi| = \sqrt{(x_1 - \xi_1)^2 + (x_2 - \xi_2)^2 + x_3^2};$$

$R_{1k}(x^*, \xi) = \sqrt{(x_1 - \xi_1)^2 + (x_2 - \xi_2)^2 + (x_3 - 2h_k)^2}$  — для паралельних областей (рис. 1),

$R_{2k}(x^*, \xi) = \sqrt{(x_1 - \xi_1)^2 + (x_2 + \xi_2 - 2h_k)^2 + x_3^2}$  — для областей, що лежать в одній площині (рис. 2).

Задаючи різні вирази для функцій  $w_k(\xi)$ , за формулою (1) визначаємо температуру в довільній точці тіла. Перший інтеграл в (1) описує температурне поле в тілі з одним тепловиділювальним включенням. Зокрема, в області  $S_0$  маємо

$$T_0(x) = \frac{1}{4\pi\lambda} \iint_{S_0} \frac{w_0(\xi)}{|x - \xi|} d\xi S, \quad (2)$$

$$|x - \xi| = \sqrt{(x_1 - \xi_1)^2 + (x_2 - \xi_2)^2}.$$

Цей інтеграл є слабосингулярний, тому його потрібно визначати аналітично.

У випадку сталого тепловиділення, якщо область  $\Omega_0$  є тонким диском радіуса  $a_0$  і товщини  $2d_0$ , то  $w_0(\xi) = 2a_0d_0q_0$ . Тоді всередині області  $S_0$  за формулою (2) знаходимо температуру [3]

$$T_0(r) = \frac{a_0d_0q_0}{\lambda} F\left(\frac{1}{2}, -\frac{1}{2}, 1, \frac{r^2}{a_0^2}\right) = \frac{2a_0d_0q_0}{\pi\lambda} E\left(\frac{r}{a_0}\right), \quad (3)$$

$$r \leq a_0,$$

де  $F$  — гіпергеометрична функція;  $E$  — еліптичний інтеграл другого роду.

Якщо область  $\Omega_0$  має форму сплющеного сфероїда  $(x_1^2 + x_2^2)/a_0^2 + x_3^2/c_0^2 = 1$ ,  $c_0 \ll a_0$ , то

$$w_0(\xi) = \frac{2c_0q_0}{a_0} \sqrt{a_0^2 - x_1^2 - x_2^2} \quad \text{і всередині області } S_0$$

$$T_0(r) = \frac{\pi c_0 a_0 q_0}{4\lambda} \left(1 - \frac{r^2}{2a_0^2}\right), \quad r \leq a_0. \quad (4)$$

Поза область  $S_0$  ядра всіх інтегралів в (1) є регулярними, тому ці інтеграли можна знаходити чисельно, розбивши області  $S_k$  на граничні елементи за радіусом і кутом та задавши на них значення  $w_k(\xi)$ .

Зауважимо, що для паралельних областей  $\Omega_k$  температура на осі  $Ox_3$  ( $x_1 = x_2 = 0$ ) визначається в аналітичній формі. Зокрема, для дискових областей

$$T_1(x_3) = \sum_{k=0}^n \frac{d_k q_k}{\lambda} \left[ \sqrt{a_k^2 + \omega_k^2} - |\omega_k| \right], \quad (5)$$

$$\omega_k = x_3 - 2h_k, \quad h_0 = 0,$$

а для сфероїдних

$$T_1(x_3) = \sum_{k=0}^n \frac{c_k q_k}{2\lambda a_k} \left\{ \frac{a_k^2 + \omega_k^2}{2} \left[ \frac{\pi}{2} + \arcsin \frac{a_k^2 - \omega_k^2}{a_k^2 + \omega_k^2} \right] - a_k |\omega_k| \right\}. \quad (6)$$

Як приклад розглянемо простір з двома однаковими тепловиділювальними областями  $S$  радіусів  $a$ , центри яких знаходяться на віддалі  $2h$ . Тоді

$$T_i(x^*) = \frac{1}{4\pi\lambda} \iint_S w(\xi) \left[ \frac{1}{|x^* - \xi|} + \frac{1}{R_i(x^*, \xi)} \right] d\xi S, \quad (7)$$

$$R_1(x^*, \xi) = \sqrt{(x_1 - \xi_1)^2 + (x_2 - \xi_2)^2 + (x_3 - 2h)^2},$$

$$R_2(x^*, \xi) = \sqrt{(x_1 - \xi_1)^2 + (x_2 + \xi_2 - 2h)^2 + x_3^2},$$

де  $w(\xi)$  — однакова інтенсивність теплових джерел в областях  $S$ .

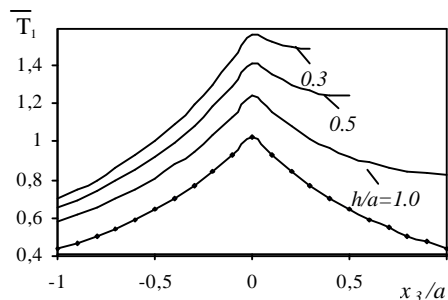


Рис. 3. Розподіл температури для двох паралельних включень

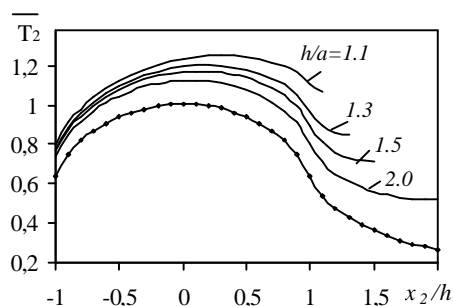


Рис. 4. Розподіл температури для двох компланарних включень

За формулою (7) проводились обчислення для двох монетоподібних включень товщини  $2d$  зі сталим тепловідленням  $q$ . Тоді  $w(\xi) = 2daq$ .

На рис. 3 і рис. 4 наведено значення температур  $\bar{T}_1 = \lambda T_1(x_3)/daq$  (рис. 3) на осі  $Ox_3$  при  $h/a = 0.3; 0.5; 1.0$  та  $\bar{T}_2 = \lambda T_2(x_2)/daq$  (рис. 4) на осі  $Ox_2$  при  $h/a = 1.1; 1.3; 1.5; 2.0$ . Маркована крива відповідає одному включенню ( $h = \infty$ ). Внаслідок симетрії відносно серединної площини між включеннями графіки побудовані тільки до точок  $x_3 = h$  (рис. 1) та  $x_2 = h$  (рис. 2). При зближенні включень температура зростає, причому для паралельних включень вона є максимальною в їхньому центрі, а для компланарних максимум зміщується у напрямі сусіднього включення. Для більш точного аналізу величин  $\bar{T}_2$  на осі  $Ox_2$  у табл. 1 наведені їхні максимальні значення. У дужках вказана відстань  $\delta = x_2/a$  від центра дискового включення.

Для сфероїдних включень графіки розподілу температури будуть подібними до наведених вище.

**Визначення напружень.** Зумовлені тепловідленням напруження знайдемо за допомогою термопружного потенціалу переміщень. Для цього розглянемо спочатку одне зосереджене джерело тепла, розміщене в точці  $\xi^*(\xi_1, \xi_2, \xi_3)$ . Тоді

$$\Phi(x^*, \xi^*) = AR(x^*, \xi^*), \quad A = (1 + \nu)\alpha_t w(\xi^*)/4\pi\lambda(1 - \nu), \quad (8)$$

$$R = \sqrt{(x_1 - \xi_1)^2 + (x_2 - \xi_2)^2 + (x_3 - \xi_3)^2},$$

де  $\alpha_t$  і  $\nu$  — коефіцієнти лінійного температурного розширення і Пуасона. Напруження знаходимо за формулою

## Результати розрахунку

$h/a$	$\bar{T}_2$	$\bar{\sigma}_{22}^2$
1.1	1.251 ( $\delta = 0.3$ )	-1.980 ( $\delta = 0.6$ )
1.3	1.203 ( $\delta = 0.2$ )	-1.872 ( $\delta = 0.3$ )
1.5	1.171 ( $\delta = 0.1$ )	-1.809 ( $\delta = 0.2$ )
2.0	1.126 ( $\delta = 0.05$ )	-1.715 ( $\delta = 0.15$ )
$\infty$	1.000 ( $\delta = 0.0$ )	-1.485 ( $\delta = 0.0$ )

$$\sigma_{ij} = 2G \left( \frac{\partial^2 \Phi}{\partial i \partial j} - \delta_{ij} \Delta \Phi \right), \quad i, j = 1, 2, 3, \quad (9)$$

де  $G$  — модуль зсуву;  $\Delta$  — оператор Лапласа;  $\delta_{ij}$  — символ Кронекера.

Підставивши у (9) вираз (8), маємо

$$\sigma_{ij} = -2GAR^{-1} \left[ \delta_{ij} + (x_i - \xi_i)(x_j - \xi_j)R^{-2} \right]. \quad (10)$$

У випадку осової симетрії компоненти напруженого стану в системі циліндричних координат виражаються формулами [10]:

$$\begin{aligned} \sigma_{\phi\phi} &= -2GAR^{-1}, \quad \sigma_{rr} = -2GAR^{-1}(1 + r^2R^{-2}), \\ \sigma_{33} &= -2GAR^{-1}(2 - r^2R^{-2}), \quad r = \sqrt{x_1^2 + x_2^2}. \end{aligned} \quad (11)$$

Формули (10) і (11) використаємо для визначення напружень, зумовлених джерелами тепла, розташованими по областях  $S_k$ . Тоді для паралельних включень маємо:

$$\sigma_{\phi\phi}^1(x^*) = -DT_1(x^*), \quad D = \frac{G\alpha_t(1 + \nu)}{1 - \nu}, \quad (12)$$

$$\sigma_{33}^1(x^*) = \sigma_{\phi\phi}^1(x^*) - M(x^*), \quad (13)$$

$$\sigma_{rr}^1(x^*) = 2\sigma_{\phi\phi}^1(x^*) + M(x^*), \quad (14)$$

$$\begin{aligned} M(x^*) &= \frac{D}{4\pi\lambda} \iint_{S_o} w_o(\xi) \frac{x_3^2}{|x^* - \xi|^3} d\xi S + \\ &+ \frac{D}{4\pi\lambda} \sum_{k=1}^n \iint_{S_k} w_k(\xi) \frac{(x_3 - 2h_k)^2}{R_{1k}^3(x^*, \xi)} d\xi S. \end{aligned}$$

Для паралельних дискових областей  $\Omega_k$  напруження на осі  $Ox_3$  ( $x_1 = x_2 = 0$ ) визначаються точно в аналітичній формі:

$$\sigma_{\phi\phi}^1(x_3) = -DT_1(x_3), \quad (15)$$

$$\sigma_{33}^1(x_3) = -\frac{Dd_0q_0}{\lambda} \left[ \sqrt{a_0^2 + x_3^2} - \frac{x_3^2}{\sqrt{a_0^2 + x_3^2}} \right] +$$

$$+ D \sum_{k=1}^n \frac{d_k q_k}{\lambda} \left[ \sqrt{a_k^2 + \omega_k^2} - \frac{\omega_k^2}{\sqrt{a_k^2 + \omega_k^2}} \right]. \quad (16)$$

У випадку компланарних включень за формулою (10) отримуємо:

$$\sigma_{11}^2(x^*) = -DT_2(x^*) - \frac{D}{4\pi\lambda} \iint_{S_o} w_o(\xi) \frac{(x_1 - \xi_1)^2}{|x^* - \xi|^3} d\xi S - \frac{D}{4\pi\lambda} \sum_{k=1}^n \iint_{S_k} w_k(\xi) \frac{(x_1 - \xi_1)^2}{R_{2k}^3(x^*, \xi)} d\xi S, \quad (17)$$

$$\sigma_{22}^2(x^*) = -DT_2(x^*) - \frac{D}{4\pi\lambda} \iint_{S_o} w_o(\xi) \frac{(x_2 - \xi_2)^2}{|x^* - \xi|^3} d\xi S - \frac{D}{4\pi\lambda} \sum_{k=1}^n \iint_{S_k} w_k(\xi) \frac{(x_2 + \xi_2 - 2h)^2}{R_{2k}^3(x^*, \xi)} d\xi S, \quad (18)$$

$$\sigma_{33}^2(x^*) = -DT_2(x^*) - \frac{D}{4\pi\lambda} \iint_{S_o} w_o(\xi) \frac{x_3^2}{|x^* - \xi|^3} d\xi S - \frac{D}{4\pi\lambda} \sum_{k=1}^n \iint_{S_k} w_k(\xi) \frac{x_3^2}{R_{2k}^3(x^*, \xi)} d\xi S. \quad (19)$$

На рис. 5 і рис. 6 для вказаних на попередніх рисунках значень  $h$  зображені величини напружень  $\bar{\sigma}_{33}^1 = \lambda \sigma_{33}^1(x_3) / Ddaq$  для паралельних включень на осі  $Ox_3$  (рис. 5) та  $\bar{\sigma}_{22}^2 = \lambda \sigma_{22}^2(x_2) / Ddaq$  для компланарних включень на осі  $Ox_2$  (рис. 6). З формули (12) видно, що для паралельних включень кільцеві напруження  $\sigma_{\phi\phi}^1(x^*)$  пропорційні температурі. Тому графіки на рис. 3 відповідають також значенню напружень  $\bar{\sigma}_{\phi\phi}^1(x_3) = -D\bar{T}_1(x_3)$ . Для компланарних включень нормальні напруження  $\sigma_{33}^2(x_1, x_2, 0)$  також пропорційні температурі в площині  $x_3 = 0$ . Тому графіки на рис. 4 відображають відповідні величини напружень  $\bar{\sigma}_{33}^2(x_2) = -D\bar{T}_2(x_2)$ , нормальних до площини  $x_3 = 0$ .

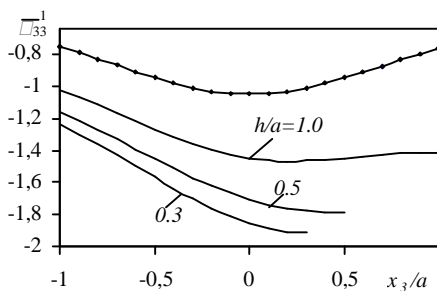


Рис. 5. Розподіл напружень для двох паралельних включень

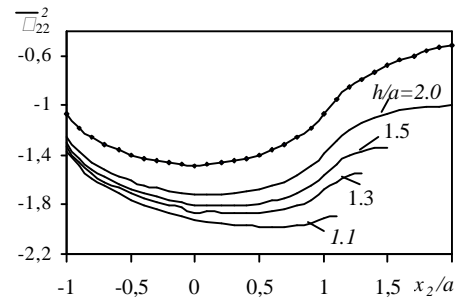


Рис. 6. Розподіл напружень для двох компланарних включень

З графіків видно, що зі зближенням включень напруження за модулем зростають, причому для паралельних включень вони досягають максимуму при  $x_3 = h$ , а для компланарних, як і у випадку температури, їх максимум зміщується в напрямі сусіднього включення (див. табл. 1).

**Висновки.** Виразами (1) описується також температурне поле  $T_2(x^*)$  у півбезмежному тілі, коли його межа  $x_3 = 0$  (рис. 2) термоізолювана, крім областей  $S_k$ , де задані теплові потоки.

У випадку двох однакових областей  $S$  формулами (7) визначається температурне поле у термоізолюваному на межі півпростору  $x_3 \leq h$  (рис. 1) з паралельною або  $x_2 \leq h$  (рис. 2) з перпендикулярною до цієї межі областю тепловиділення.

Усі напруження в тілі є стискальними, тому якщо в околі областей тепловиділення наявні навантажені внутрішнім тиском тріщини, то за рахунок нагріву можна понизити інтенсивність напружень, тобто створити умови гальмування тріщин [11].

Рівняння (1) можна використати також для визначення електричного потенціалу в безмежному просторі з тонкими круговими пластинами, на яких задані електричні заряди (теповим джерелам відповідають електричні заряди, а температурі — потенціал).

## Література

1. Власов Н.М., Федик И.И. Тепловыделяющие элементы ядерных ракетных двигателей. — М.: ЦНИИатоминформ. — 2001. — 208 с.
2. Федик И.И., Колесов В.С., Михайлов В.Н. Температурные поля и термонапряжения в ядерных реакторах. — М.: Энергоатомиздат, 1985. — 280 с.
3. Кім Г.С., Сушко О.П. Напружений стан півбезмежного тіла при тепловиділенні в перпендикулярній до його межі дисковій області // Прикл. проблеми механіки і математики. — 2007. — Вип. 5. — С. 122—126.
4. Кім Г.С., Сушко О.П. Термопружний стан півпростору з перпендикулярною до його краю теплоактивною круговою тріщиною // Фіз. – хім. мех. матеріалів. — 2005. — 41, №2. — С. 16—22.
5. Кім Г.С., Сушко О.П. Термопружний стан півпростору з перпендикулярною до його межі теплоактивною еліптичною тріщиною // Фіз. – хім. мех. матеріалів. — 2006. — 42, №2. — С. 45—52.

6. *Кит Г.С., Сушко О.П.* Взаимодействие теплоактивной эллиптической трещины с границей полупространства // Теорет. и прикл. механика. — 2006. — Вып. 42. — С. 45—51.

7. *Кит Г.С., Сушко О.П.* Термоупругое состояние полупространства с параллельной к его границе теплоактивной трещиной // Прикл. механика. — 2007. — Том. 43, №4. — С. 46—54.

8. *Кит Г.С., Сушко О.П.* Термоупругое состояние тела с двумя компланарными или параллельными трещинами // Теорет. и прикл. механика. — 2005. — Вып. 40. — С. 3—8.

9. *Кит Г.С., Хай М.В.* Метод потенциалов в трехмерных задачах термоупругости тел с трещинами. — К.: Наук. думка, 1989. — 284 с.

10. *Новацкий В.* Вопросы термоупругости. — М.: Изд-во АН СССР, 1962. — 364 с.

11. *Финкель В.М.* Физические основы торможения разрушения. — М.: Металлургия, 1977. — 360 с.

Отримана 12.10.08

*H. Kit, O. Sushko*

**Distribution of temperature and stresses in a body at heat-emission in circular disk domains**

*Pidstryhach Institute for Applied Problems of Mechanics and Mathematics National Academy of Sciences, Lviv*

*A temperature field and stresses in a body, caused by heat-emission in the disk domains located in a plane with centers on one straight line or co-axially in the parallel planes, are determined. Influence of the distance between two identical penny-shaped or spheroidal domains on distribution of temperature and stresses is investigated. Simple analytical dependencies for temperature and normal stresses are obtained in the case of arbitrary number of parallel domains on symmetry axis. It is established that stresses in the vicinity of heat-emission domains are compressive.*

21 01 01 003y

**Міжнародна науково-технічна конференція  
ПОШКОДЖЕННЯ МАТЕРІАЛІВ ПІД ЧАС ЕКСПЛУАТАЦІЇ, МЕТОДИ ЙОГО  
ДІАГНОСТУВАННЯ І ПРОГНОЗУВАННЯ, IC-DMDP**

21 — 24 вересня 2009 р., ТДТУ ім. І. Пулюя,  
м. Тернопіль

**Організатори конференції:**

Інститут проблем міцності ім. Г. С. Писаренка НАН України;

Тернопільський державний технічний університет імені Івана Пулюя;

Західний науковий центр НАН і МОН України;

Наукова рада з проблеми механіка деформівного твердого тіла при Відділенні механіки НАН України;

Наукова рада з проблеми фізико-хімічної механіки матеріалів при Відділенні фізико-технічних проблем матеріалознавства;

Тернопільська обласна організація українського союзу науково-технічної інтелігенції.

**Тематика конференції:**

1. Розсіяне і локалізоване пошкодження матеріалів.
2. Діагностування пошкоджень.
3. Методи описування і прогнозування пошкоджуваності матеріалів.
4. Оцінювання залишкового ресурсу елементів конструкцій.

*Інформацію про конференцію та культурну програму розміщено за адресою:*

<http://www.tu.edu.te.ua/dmdp/>

**Адреса Оргкомітету:**

**Оргкомітет Міжнародної науково-технічної конференції “IC DMDP”**

ТДТУ, вул. Руська, 56, м. Тернопіль, 46001, Україна.

Тел.: +380 (352) 25 35 09; Факс: +380 (352) 25 49 83

e-mail: [snt@tu.edu.te.ua](mailto:snt@tu.edu.te.ua)

Голова програмного комітету — академік НАН України В. Т. Трощенко.

Співголова програмного комітету — д. т. н., проф. П. В. Ясній.

Голова організаційного комітету — к. т. н., доц. Ю. І. Пиндус.

Науковий секретар — к. т. н. І. Б. Окіпний.